

СОДЕРЖАНИЕ

1	2	
1.1	2	
1.2	4	
1.3	7	
1.4	8	
1.4.1	8	
1.4.2	11	
1.4.3	15	
1.4.3.1	17	
1.4.3.2	19	
1.4.3.3	23	
1.5	26	
1.6	37	
1.7	38	
1.7.1	38	
1.7.2	40	
Список использованных источников		44

1 Динамика добычи тяжелой нефти

В данной главе приводятся иллюстрации, формулируется математическая постановка задачи, строится разностная схема (РС), определяются значения граничных и начальных условий к РС, для этапа 2 технологии разработки тяжелой нефти

1.1 Иллюстрации к краевой задаче

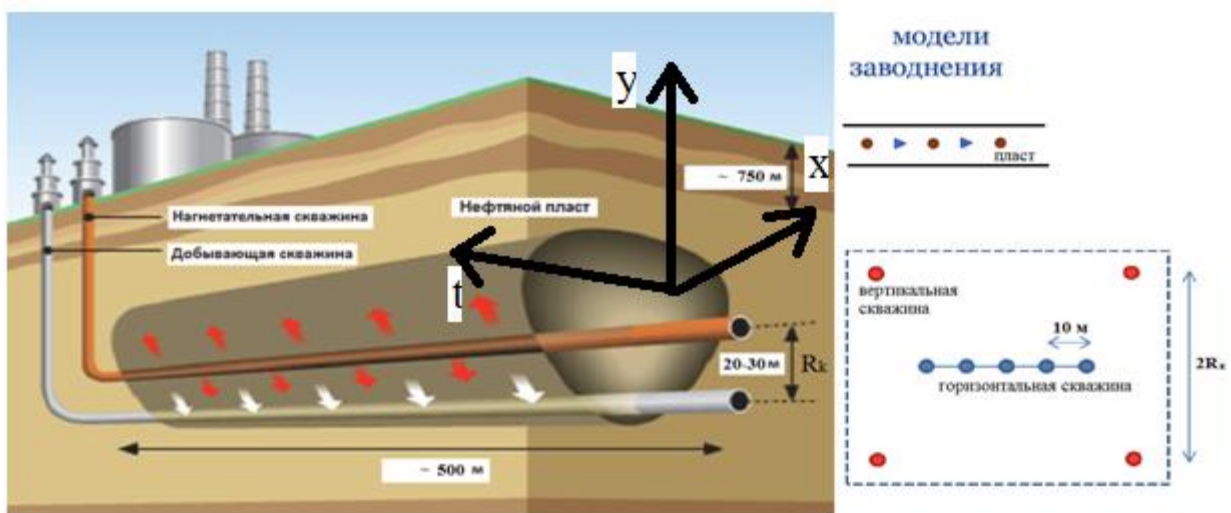


Рисунок 1.1 – Нефтеносный пласт на глубине 750м, размером 50км·10км, толщина пласта $2h=20 \mid 30$ м. Радиус горизонтальной скважины $r_0=0,5 \mid 1$ м. По оси z горизонтальной скважины объемное джоулево тепловыделение q_w вт/м³, в проводнике радиусом $r_{\pi}=0,02 \mid 0,03$ м. На расстоянии H от нагнетательной – добывающая скважина

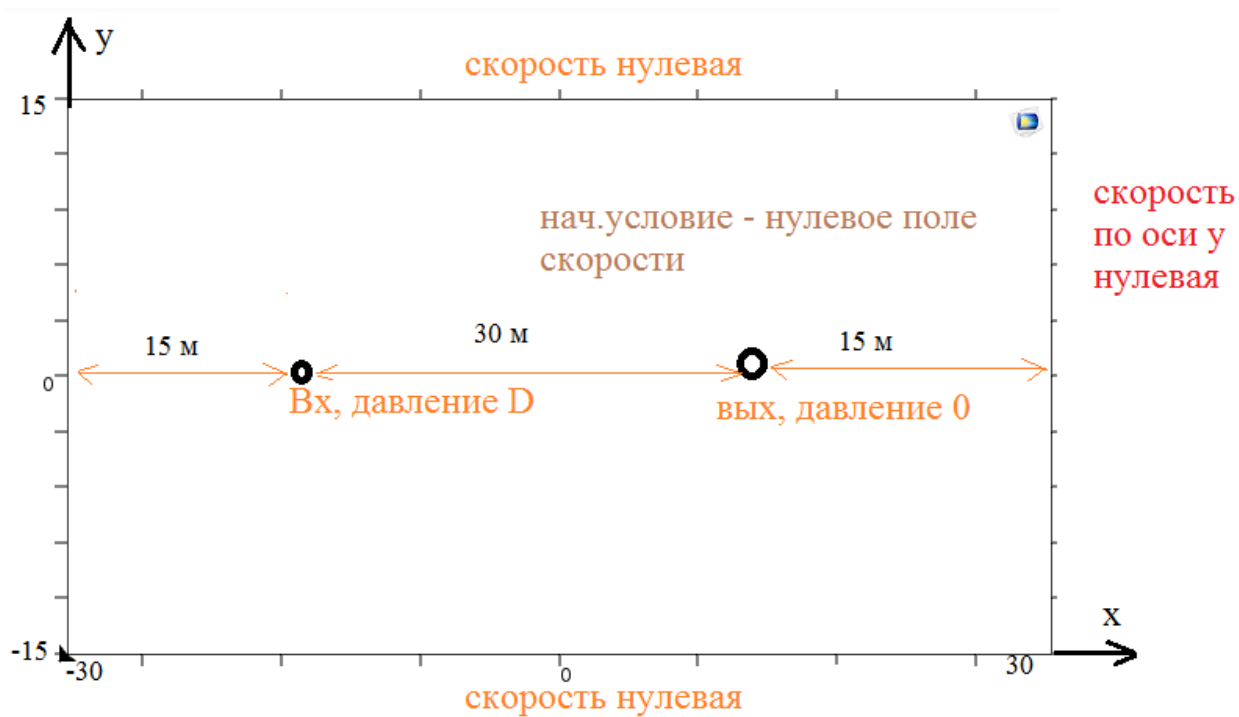


Рисунок 1.2– Сечение нефтяного пласта на рисунке 1.1

1.2 Краевая задача

Законы Дарси или сохранения массы и энергии (теплопроводностью пласта пренебрегаем) в векторной форме

$$\begin{cases} \varphi \frac{\partial \sigma}{\partial t} + \operatorname{div}(\bar{u}_1) = 0; \\ -\varphi \frac{\partial \sigma}{\partial t} + \operatorname{div}(\bar{u}_2) = 0; \end{cases}$$

при этом

$$\operatorname{div}(\bar{u}_1) = \frac{\partial u_1(x, y, t)}{\partial x} + \frac{\partial u_2(x, y, t)}{\partial y};$$

$$\operatorname{div}(\bar{u}_2) = \frac{\partial w_1(x, y, t)}{\partial x} + \frac{\partial w_2(x, y, t)}{\partial y};$$

$$\bar{u}_1 = \{u_1(x, y, t); u_2(x, y, t)\};$$

$$\bar{u}_2 = \{w_1(x, y, t); w_2(x, y, t)\};$$

координатная форма закона Дарси

$$\begin{cases} \varphi \sigma(x, y, t) + \frac{\partial u_1(x, y, t)}{\partial x} + \frac{\partial u_2(x, y, t)}{\partial y} = 0; \end{cases} \quad (1.1)$$

$$\begin{cases} -\varphi \sigma(x, y, t) + \frac{\partial w_1(x, y, t)}{\partial x} + \frac{\partial w_2(x, y, t)}{\partial y} = 0; \end{cases} \quad (1.2)$$

где

$\varphi = 26.4\%$ — эффективная пористость;

$\bar{u}_1, \bar{u}_2, \bar{w}_1, \bar{w}_2$ — векторные поля скоростей для фаз: воды, нефти;

$\sigma = \sigma(x, y, t)$ — относительная водонасыщенность для фаз: воды, нефти.

Закон сохранения импульса в векторной форме (пренебрежём силой тяжести), для вязко-пластичной нефти с предельным градиентом давления по реологической модели вязкопластической среды Бингама-Шведова, для фазы нефти

$$\begin{cases} \nabla P = \frac{-\mu_2 \bar{u}_2}{kk_2(s_2, T, C)} - \frac{\gamma \bar{u}_2}{|\bar{u}_2|}, |\bar{u}_2| > 0; \\ \nabla P < \gamma, \bar{u}_2 = 0; \end{cases}$$

координатная форма для фазы нефти

$$\begin{cases} \frac{\partial P}{\partial x} = \frac{-\mu_2 w_1}{kk_2(s_2, T, C)} - \frac{\gamma w_1}{\sqrt{w_1^2 + w_2^2}}; \end{cases} \quad (1.3)$$

$$\begin{cases} \frac{\partial P}{\partial y} = \frac{-\mu_2 w_2}{kk_2(s_2, T, C)} - \frac{\gamma w_2}{\sqrt{w_1^2 + w_2^2}}; \\ w_1 = w_2 = 0, \left(\frac{\partial P}{\partial x}\right)^2 + \left(\frac{\partial P}{\partial y}\right)^2 < \gamma; \end{cases} \quad (1.4)$$

векторная форма закона Бингама-Шведова для фазы воды

$$\nabla P = \frac{-\mu_1 \bar{u}_1}{kk_1(s_1, T, C)}, |\bar{u}_1| > 0;$$

для фазы воды

$$\begin{cases} \frac{\partial P}{\partial x} = \frac{-\mu_1 u_1}{kk_1(s_1, T, C)}; \end{cases} \quad (1.5)$$

$$\begin{cases} \frac{\partial P}{\partial y} = \frac{-\mu_1 u_2}{kk_1(s_1, T, C)}; \end{cases} \quad (1.6)$$

где

при давлении $P_{пл}$: $\gamma = \gamma(T, C)$ – предельный градиент давления для каждой фазы;

$k_i = k_i(s_i, T, C)$ – относительная фазовая проницаемость i -й фазы ($i=1$ – вода, $i=2$ – нефть);

$k = k(T, C)$ – коэффициент проницаемости пласта (горной породы);

$P_i, \nabla P$ – парциальное давление, градиент парциального давления i -й фазы;

$\mu, \mu_i = \mu_i(T, C)$ – динамическая вязкость i -й фазы;

1.3 Замыкающие соотношения для параметров модели

Для решения (1.1)-(1.6) требуются замыкающие соотношения параметров: $k=k(C, T)$; $\gamma=\gamma(C, T)$; $\mu_1=\mu_1(C, T)$; $\mu_2=\mu_2(C, T)$; $k_1=k_1(s_1, T, C)$; $k_2=k_2(s_2, T, C)$.

$$k(C, T) = 10^{-10} 1.47 T^{-2.1475} \exp(0.13563C);$$

$$\gamma(C, T) = 10^5 7857 T^{-2.27694} \exp(-0.16194C);$$

$$\mu_1(C, T) = 10^{-4} 3.03 \exp\left(\frac{31.9283}{T}\right) \exp(0.168228C);$$

$$\mu_2(C, T) = 10^{-3} 5.10746 \exp\left(\frac{70.2362}{T}\right) \exp(-0.25714C);$$

$$k_1(s_1, C, T) = ;$$

$$k_2(s_2, C, T) = ;$$

1.4 Методы построения РС

1.4.1 Метод неопределённых коэффициентов

Метод неопределённых коэффициентов рассмотрен на примере задачи Коши для обыкновенного дифференциального уравнения первого порядка:

$$\begin{aligned}\frac{dx}{dy} &= f(x, y), x_0 \leq x \leq X, \\ y(x_0) &= a.\end{aligned}\tag{1.6.1}$$

Для численного решения задачи (1.6.1) методом конечных разностей была построена РС:

$$\begin{cases} \frac{y_{j+1} - y_j}{h} = f(x_j, y_j), j = \overline{0, N-1}, \\ y_0 = a. \end{cases}\tag{1.6.2}$$

Эта схема связывает значения искомой функции $y(x)$ в двух узлах x_j, x_{j+1} .

Построим разностную схему (1.6.2) методом неопределённых коэффициентов. Для этого разностное уравнение запишем в следующем виде:

$$L_h y^{(h)} \equiv a_0 y_j + a_1 y_{j+1} = f_j,\tag{1.6.3}$$

где a_0, a_1 – неопределённые коэффициенты. Постараемся подобрать их таким образом, чтобы выполнялось следующее равенство:

$$L_h [y]_h \Big|_{x=x_j} \equiv f(x_j, y(x_j) + O(h^2)).\tag{1.6.4}$$

Воспользуемся формулой Тейлора, предполагая, что $y(x) \in C^2[x_0, X]$:

$$y(x_j + h) = y(x_j) + h \left. \frac{dy}{dx} \right|_{x=x_j} + \frac{h^2}{2} \left. \frac{d^2y}{dx^2} \right|_{x=\tilde{x}}, \quad (1.6.5)$$

где $\tilde{x} = x_j + \theta_1 h, \tilde{x} = x_j + \theta_2, \theta_1 \in (-1, 0), \theta_2 \in (0, 1)$.

Подставляя (1.6.5) в левую часть равенства (1.6.4), получим:

$$L_h[y]_h \Big|_{x=x_j} \equiv a_0 y(x_j) + a_1 \left\{ y(x_j) + h \left. \frac{dy}{dx} \right|_{x=x_j} + O(h^2) \right\}. \quad (1.6.6)$$

Определим коэффициенты a_0, a_1 так, чтобы выполнялось условие аппроксимации (1.6.4). Вначале сгруппируем слагаемые в правой части равенства (1.6.6):

$$L_h[y]_h \Big|_{x=x_j} \equiv (a_0 + a_1) y(x_j) + a_1 h \left. \frac{dy}{dx} \right|_{x=x_j} + O(h^2) = f(x_j, y(x_j)). \quad (1.6.7)$$

Из соотношения (1.6.7) следует, что для выполнения условия аппроксимации необходимо, чтобы выполнялись равенства:

$$\begin{cases} a_0 + a_1 = 0, \\ a_1 h = 1. \end{cases}$$

Имеем систему двух линейных алгебраических уравнений, которая, очевидно, допускает единственное решение:

$$a_0 = \frac{-1}{h}, a_1 = \frac{1}{h}.$$

В результате получается РС

$$\frac{y_{j+1} - y_{j-1}}{2h} = f_j, j = \overline{1, N-1}.$$

аналогичная ранее рассмотренной схеме (1.6.2).

Для построения РС, связывающей значения искомой функции $y(x)$ в узлах x_{j-1} , x_{j+1} , методом неопределенных коэффициентов, повторим выше приведенную процедуру. Имеем

$$L_h y^{(h)} \equiv a_0 y_{j-1} + a_1 y_{j+1} = f_j. \quad (1.6.8)$$

Определим неизвестные коэффициенты a_0, a_1 так, чтобы имело место равенство

$$L_h [y]_h \Big|_{x=x_j} = f(x_j, y(x_j)) + O(h^2). \quad (1.6.9)$$

Используя формулу Тейлора, получим

$$y(x_j - h) = y(x_j) - h \frac{dx}{dy} \Big|_{x=x_j} + \frac{h^2}{2} \frac{d^2 y}{dx^2} \Big|_{x=\tilde{x}}, \quad (1.6.10)$$

$$y(x_j + h) = y(x_j) + h \frac{dx}{dy} \Big|_{x=x_j} + \frac{h^2}{2} \frac{d^2 y}{dx^2} \Big|_{x=\tilde{x}}, \quad (1.6.11)$$

где $\tilde{x} = x_j + \theta_1 h, \tilde{x} = x_j + \theta_2 h, \theta_1 \in (-1, 0), \theta_2 \in (0, 1)$.

Подставляя (1.6.10) и (1.6.11) в левую часть равенства (1.6.9), будем иметь:

$$L_h [y]_h \Big|_{x=x_j} \equiv (a_0 + a_1) y(x_j) + (-a_0 h + a_1 h) \frac{dy}{dx} \Big|_{x=x_j} + O(h^2) = f(x_j, y(x_j)). \quad (1.6.12)$$

Для выполнения условия аппроксимации (1.6.12) необходимо выполнение следующих соотношений:

$$\begin{cases} a_0 + a_1 = 0, \\ (-a_0 + a_1)h = 1. \end{cases}$$

Из системы имеем, что $a_0 = \frac{-1}{2h}, a_1 = \frac{1}{2h}$. Подставляя полученные значения a_0, a_1 в (1.6.8), запишем разностную схему:

$$\frac{y_{j+1} - y_{j-1}}{2h} = f_j, j = \overline{1, N-1}. \quad (1.6.13)$$

Отметим, что в построенной разностной схеме (1.6.13) используется *центральная разность*. В ранее рассмотренной схеме применялась *правая пространственная разность*.

Аналогичным образом можно построить разностную схему с *левой пространственной разностью* вида:

$$\frac{y_{j+1} - y_{j-1}}{2h} = f_j, j = \overline{1, N}. \quad (1.6.14)$$

Отметим, что в общем случае РС может иметь шаблон, в котором узлы могут быть расположены произвольным образом друг относительно друга. При этом число неопределенных коэффициентов должно совпадать с количеством узлов.

1.4.2 Метод полиномиальной аппроксимации

Рассматриваемый метод основан на применении гладкой функции со свободными параметрами [2], [7] для нахождения производных по экспериментальным данным. В качестве такой функции обычно используются полиномы.

Проиллюстрируем указанный метод для случая, когда в узлах x_{j-1}, x_j, x_{j+1} заданы значения функции y_{j-1}, y_j, y_{j+1} . Проведем аппроксимацию функции многочленом второй степени

$$y(x) = a + bx + cx^2, \quad (1.6.15)$$

причем, за начало координат $x = 0$ примем точку x_j . Тогда $x_{j-1} = -h, x_{j+1} = h$. Для определения a, b, c воспользуемся значениями y_{j-1}, y_j, y_{j+1} . Имеем:

$$y_{j-1} = a + bx + cx_{j-1}^2,$$

$$y_j = a + bx + cx_j^2,$$

$$y_{j+1} = a + bx + cx_{j+1}^2,$$

или, с учетом того, что $x_j = 0$,

$$y_{j-1} = a - bh + ch^2,$$

$$y_j = a,$$

$$y_{j+1} = a + bh + ch^2,$$

Складывая первое и последнее равенства, получим:

$$y_{j+1} + y_{j-1} = 2a + 2ch^2,$$

или

$$c = \frac{y_{j-1} - 2y_j + y_{j+1}}{2h^2}.$$

Для определения коэффициента b вычтем из третьего равенства первое.
Получим:

$$y_{j+1} - y_{j-1} = 2bh.$$

Отсюда

$$b = \frac{y_{j+1} - y_{j-1}}{2h}.$$

Для определения производной воспользуемся формулой

$$\left. \frac{dy}{dx} \right|_{x=x_j} = (b + 2cx) \Big|_{x=x_j=0} = b.$$

Или

$$\left. \frac{dy}{dx} \right|_{x=x_j} = \frac{y_{j+1} - y_{j-1}}{2h}.$$

Значение второй производной

$$\left. \frac{d^2 y}{dx^2} \right|_{x=x_j} = 2c,$$

или

$$\left. \frac{d^2 y}{dx^2} \right|_{x=x_j} = \frac{y_{j-1} - 2y_j + y_{j+1}}{h^2}.$$

Построенные формулы для первой и второй производной совпадают с формулами, полученными методом конечных разностей [2, с. 107-120, с. 146-151].

Если теперь аппроксимировать $y(x)$ полиномом первой степени, то есть $y(x) = a + bx$, то в зависимости от таблицы значений функции y_j, y_{j+1} или y_j, y_{j-1}

, получатся формулы для аппроксимации $\left. \frac{dy}{dx} \right|_{x=x_j}$ правой или левой пространственными разностями соответственно.

Заметим, что аппроксимационные формулы для производных, полученные при помощи полиномов выше второго порядка, уже не идентичны выражениям, полученным разложением в ряд Тейлора [3, с. 44-45]. В каждом случае погрешность аппроксимации проверяется при помощи разложения по формуле Тейлора [3, с. 44].

Замечание. Среди других методов построения разностных схем отметим проекционные методы [4, с. 138-144]: метод конечных элементов, метод Галеркина, метод Рэлея-Ритца и другие. В их основе лежит идея аппроксимации решения дифференциального уравнения конечной линейной комбинацией заданных функций, называемых *базисными*. Интегроинтерполяционный метод (ИИМ) или *метод баланса* применяется при построении разностных схем, аппроксимирующих основные уравнения исходной задачи, записанные в интегральной, а не в дифференциальной форме

[5, с. 111-116]. В результате применения этого метода получается *консервативная* или *дивергентная* разностная схема.

Под *консервативной разностной схемой* понимаем схему, выражающую на сетке разностные аналоги соответствующих законов сохранения [5, с. 111-114]. Кроме того, при построении разностных схем для решения задачи Коши применяются: метод Эйлера, модифицированный метод Эйлера [6, с. 214-215], методы Рунге-Кутты [6, с. 218-230] или, так называемые, *одношаговые методы*. К числу *многошаговых методов* построения разностных схем принадлежат экстраполяционный и интерполяционный методы Адамса [6, с. 230-238].

Одним из основных методов численного решения граничных задач, как для обыкновенных дифференциальных уравнений, так и для уравнений в частных производных, является *метод конечных разностей* [2, с. 107-120, с. 146-151]. Не нарушая общности, проведем рассмотрение метода конечных разностей на примере краевой задачи для ОДУ второго порядка.

1.4.3 Метод конечных разностей

Рассмотрим линейную двухточечную краевую задачу [2, с. 107-120]:

$$Ly = f,$$

где

$$Ly \equiv \begin{cases} y'' + p(x)y' + q(x)y, 0 \leq x \leq 1, \\ y(0), \\ y'(1), \end{cases} \quad (1.6.16)$$

$$f \equiv \begin{cases} r(x), 0 \leq x \leq 1, \\ \alpha, \\ \beta, \end{cases}$$

$p(x)$, $q(x)$, $r(x)$ – заданные функции, α, β – известные числа. Будем предполагать, что задача (1.6.16) корректно поставлена. Используя метод конечных разностей, называемый иначе *методом сеток*, опишем алгоритм нахождения приближенного решения задачи (1.6.16) на ПЭВМ.

Согласно методу сеток необходимо выполнить следующие действия:

1) заменить область непрерывного изменения аргумента $x \in [0, 1]$ некоторой дискретной областью. Для этой цели рассмотрим, например, равномерную сетку на отрезке $[0, 1]$ с $N+1$ узлами:

$$\overline{\omega_h} = \{x_j, x_j = jh, j = \overline{0, N}, N = 1/h, h > 0\};$$

2) аппроксимировать краевую задачу (1.6.16) на множестве узлов $x_j \in \overline{\omega_h}$ некоторой разностной задачей

$$L_h y^{(h)} = f^{(h)}, \quad (1.6.17)$$

где

$$y^{(h)} \in U_h, f^{(h)} \in F_h,$$

U_h – пространство сеточных функций – решений задачи (1.6.17),

F_h – пространство сеточных функций – правых частей разностной задачи (1.41);

3) решить разностную задачу (1.6.17) каким-либо численным методом, то есть найти приближенные значения решения $y_j \approx y(x_j)$ в узлах сетки $\overline{\omega_h}$.

Под $y(x_j)$ понимаем значения решения дифференциальной задачи (1.6.16), вычисленные в узлах $x_j \in \overline{\omega_h}$, y_j – значение в узле x_j решения разностной задачи (1.6.17). В рассматриваемом случае разностная задача (1.6.17) представляет собой систему $N+1$ линейных алгебраических уравнений относительно $N+1$ неизвестных y_0, y_1, \dots, y_N .

При таком подходе к решению краевых задач для обыкновенных дифференциальных уравнений необходимо решить следующие вопросы:

1) **выбрать формулы численного дифференцирования**, достаточно приближающие производные из (1.6.16);

2) **определить порядок аппроксимации краевой задачи РС**, устойчивость разностной схемы и сходимость решения разностной задачи к решению дифференциальной задачи;

3) **показать разрешимость системы линейных алгебраических уравнений и указать метод её решения.**

Приведём решение каждого из перечисленных вопросов на примере поставленной задачи (1.6.16).

1.4.3.1 Выбор формул численного дифференцирования

За определение *аппроксимации* принимается стремление невязки $\delta f^{(h)}$ к нулю при шаге $h \rightarrow 0$.

Аппроксимируем производные из (1.6.16) в узле x_j по следующим формулам численного дифференцирования [2, с. 109]:

$$y''(x_j) \simeq \frac{y(x_{j+1}) - 2y(x_j) + y(x_{j-1}))}{h^2}, j = \overline{1, N-1};$$

$$y'(x_j) \simeq \frac{y(x_{j+1}) - y(x_j)}{h}, j = \overline{1, N-1};$$

правая разностная производная,

$$y'(x_j) \approx \frac{y(x_j) - y(x_{j-1}))}{h}, j = \overline{1, N};$$

левая разностная производная

$$y'(x_j) \approx \frac{y(x_{j+1}) - y(x_j)}{h}, j = \overline{1, N-1};$$

центральная разностная производная Тогда вместо краевой задачи (1.6.16) получим разностную задачу (1.6.17), где

$$L_h y^{(h)} \equiv \begin{cases} \frac{y_{j+1} - 2y_j + y_{j-1}}{h^2} + p_j \frac{y_{j+1} - y_j}{h} + q_j y_j, j = \overline{1, N-1} \\ y_0, \\ \frac{y_N - y_{N-1}}{2h}, \end{cases} \quad (1.6.18)$$

или

$$L_h y^{(h)} \equiv \begin{cases} \frac{y_{j+1} - 2y_j + y_{j-1}}{h^2} + p_j \frac{y_{j+1} - y_j}{2h} + q_j y_j, j = \overline{1, N-1} \\ y_0, \\ \frac{y_N - y_{N-1}}{2h}, \end{cases} \quad (1.6.19)$$

при этом

$$f \equiv \begin{cases} r, j = \overline{1, N-1} \\ \alpha \\ \beta. \end{cases}$$

1.4.3.2 Определение порядка аппроксимации дифференциальной задачи разностной

Исследуем погрешность от замены производных из (1.6.16) по формулам численного дифференцирования, предполагая, что функция $y(x)$ обладает достаточной гладкостью. Разложим $y(x_{j+1})$ в окрестности x_j по формуле Тейлора. Будем иметь:

$$y(x_{j\pm 1}) = y(x_j \pm h) = y(x_j) \pm hy'(x_j) + \frac{h^2}{2} y''(x_j) \pm \frac{h^3}{6} y'''(x_j) + \frac{h^4}{24} y^{IV}(x_j) + O(h^5),$$

где $O(h^5)$ означает, что остаточный член разложения стремится к нулю при шаге $h \rightarrow 0$, как h^5 .

Тогда

$$\frac{y(x_{j+1}) - 2y(x_j) + y(x_{j-1}))}{h^2} = y''(x_j) + \frac{h^2}{12} y^{IV}(\xi_1),$$

где $x_{j-1} < \xi_1 < x_{j+1}$.

Аналогично получаем:

$$\frac{y(x_{j+1}) - y(x_{j-1}))}{2h} = y'(x_j) + \frac{h^2}{6} y'''(\xi_2),$$

где $x_{j-1} < \xi_2 < x_{j+1}$;

$$\frac{y(x_{j+1}) - y(x_j)}{h} = y'(x_j) + \frac{h}{2} y''(\xi_3),$$

где $x_j < \xi_3 < x_{j+1}$;

$$\frac{y(x_N) - y(x_{N-1})}{h} = y'(x_N) - \frac{h}{2} y''(\xi_4),$$

где $x_{N-1} < \xi_4 < x_N$.

Определяем теперь невязку $\delta f^{(h)}$ по формуле

$$L_h[y]_h - f^{(h)} = \delta f^{(h)}, [y]_h \in U_h; f^{(h)}, \delta f^{(h)} \in F_h.$$

При использовании правой разностной производной имеем:

$$L_h y^{(h)} \equiv \begin{cases} y''(x_j) + p_j y'(x_j) + q_j y(x_j) + \frac{h^2}{12} y^{IV}(\xi_1) + \frac{h}{2} y''(\xi_3) p_j, \\ y(x_0), \\ y'(x_N) - \frac{h}{2} y''(\xi_4), \end{cases}$$

$$f \equiv \begin{cases} r_j, j = \overline{1, N-1} \\ \alpha \\ \beta. \end{cases}$$

Следовательно,

$$\delta f^{(h)} \equiv \begin{cases} -\frac{h^2}{12} y^{IV}(\xi_1) - \frac{h}{2} y''(\xi_3) p_j \equiv \delta f_1^{(h)}, \\ 0 \equiv \delta f_2^{(h)}, \\ \frac{h}{2} y''(\xi_4) \equiv \delta f_3^{(h)}. \end{cases}$$

При замене $y'(x_j)$ центральной разностной производной получаем:

$$\delta f^{(h)} \equiv \begin{cases} -\frac{h^2}{12} y^{IV}(\xi_1) - \frac{h^2}{6} y''(\xi_2) p_j \equiv \delta f_1^{(h)}, \\ 0 \equiv \delta f_2^{(h)}, \\ \frac{h}{2} y''(\xi_4) \equiv \delta f_3^{(h)}. \end{cases}$$

Из проведенных исследований заключаем, что разностные схемы (1.6.18), (1.6.19) аппроксимируют дифференциальную задачу (1.6.16) на решении $y \in C^4[0,1]$ с локальной ошибкой (ошибкой на одном шаге) $O(h)$. Отметим, что порядок аппроксимации разностной схемы (1.6.19) можно повысить до 2-го относительно h , если аппроксимировать $y'(x_N)$ по формуле численного дифференцирования [7, с. 57-59]:

$$\frac{3y(x_N) - 4y(x_{N-1}) + y(x_{N-2}))}{2h} = y'(x_N) + \frac{h^2}{3} y'''(\xi_5),$$

где $x_{N-2} < \xi_5 < x_N$.

Тогда невязка $\delta f^{(h)}$ принимает вид:

$$\delta f^{(h)} \equiv \begin{cases} -\frac{h^2}{12} y^{IV}(\xi_1) - \frac{h^2}{6} y''(\xi_2) p_j \equiv \delta f_1^{(h)}, \\ 0 \equiv \delta f_2^{(h)}, \\ \frac{h^2}{3} y'''(\xi_5) \equiv \delta f_3^{(h)}. \end{cases} \quad (1.6.20)$$

Получим оценку $\|\delta f^{(h)}\|_{F_h}$ из (1.6.20). Имеем:

$$\left| y''(x_j) - \frac{y_{j+1} - 2y_j + y_{j-1}}{h^2} \right| \leq \frac{h^2}{12} \|y^{IV}\|_c,$$

$$\left| p(x_j)y'(x_j) - p_j \frac{y_{j+1} - y_{j-1}}{2h} \right| \leq \frac{h}{6} \|p\|_c \|y'''\|_c,$$

$$\left| y'(x_N) - \frac{3y_N - 4y_{N-1} + y_{N-2}}{2h} \right| \leq \frac{h^2}{3} \|y'''\|_c.$$

Здесь

$$p_j = p(x_j), j = \overline{1, N-1}, \|p\|_c = \max_{x \in [0,1]} |p(x)|, \|y^{IV}\|_c = \max_{x \in [0,1]} |y^{IV}(x)|, \|y'''\|_c = \max_{x \in [0,1]} |y'''(x)|.$$

Пусть

$$\|\delta f^{(h)}\|_{F_h} = \max_{1 \leq i \leq 3} |\delta f_i^{(h)}|.$$

Тогда получаем

$$\|\delta f^{(h)}\|_{F_h} = C \cdot h^2,$$

где C – некоторая не зависящая от h постоянная.

Аналогичными рассуждениями можно показать, что в случае разностных схем (1.6.18), (1.6.19).

$$\|\delta f^{(h)}\|_{F_h} = C \cdot h,$$

1.4.3.3 Устойчивость РС и сходимость решения разностной задачи к решению дифференциальной. Вопросы разрешимости разностной задачи

Разностную задачу (1.6.18) запишем в виде:

$$\begin{cases} y_0 = \alpha, \\ \frac{y_{j+1} - 2y_j + y_{j-1}}{h^2} + p_j \frac{y_{j+1} - y_j}{h} + q_j y_j = r_j, j = \overline{1, N-1}, \\ y_N - y_{N-1} = \beta h. \end{cases} \quad (1.6.21)$$

Или

$$A\bar{y} = \bar{b}, \quad (1.6.22)$$

где

$$\bar{y} = (y_0, y_1, \dots, y_N)^T, \bar{b} = (\alpha, h^2 r_1, \dots, h^2 r_{N-1}, \beta h)^T,$$

$$A = \begin{pmatrix} 1 & 0 & 0 & 0 & 0 & \dots & 0 & 0 & 0 \\ 1 & (-2 - hp_1 + q_1 h^2) & 1 + hp_1 & 0 & 0 & \dots & 0 & 0 & 0 \\ 0 & 1 & (-2 - hp_2 + q_2 h^2) & 1 + hp_2 & 0 & \dots & 0 & 0 & 0 \\ \dots & \dots & \dots & \dots & \dots & \dots & \dots & \dots & \dots \\ 0 & 0 & 0 & 0 & 0 & \dots & 1 & (-2 - hp_{N-1} + q_{N-1} h^2) & 1 + hp_{N-1} \\ 0 & 0 & 0 & 0 & 0 & \dots & 0 & (-1) & 1 \end{pmatrix}$$

Матрица A системы линейных алгебраических уравнений (1.6.22) является трехдиагональной матрицей с доминирующей главной диагональю, если при $0 \leq x \leq 1$ функция $q(x) \leq 0$. Это условие гарантирует существование единственного решения разностной краевой задачи (1.6.18), причем, решение может быть получено методом прогонки [8, с. 130-133].

В самом деле, задачу (1.6.21) можно привести к виду:

$$\begin{cases} A_j y_{j-1} - C_j y_j + B_j y_{j+1} = F_j, j = \overline{1, N-1}, \\ y_0 - \chi_0 y_1 = \gamma_0, \\ y_N - \chi_N y_{N-1} = \gamma_N, \end{cases} \quad (1.6.23)$$

где

$$A_j = \frac{1}{h^2}, C_j = \frac{2}{h^2} + \frac{p_j}{h} - q, B_j = \frac{1}{h^2} + \frac{p_j}{h}, \\ F_j = r_j, \chi_0 = 0, \gamma_0 = \alpha, \chi_N = 1, \gamma_N = \beta h.$$

При этом должны выполняться следующие достаточные условия устойчивости метода прогонки [7, с.161-166]:

$$|C_j| \geq |A_j| + |B_j|, |\chi_0| \leq 1. \quad (1.6.24)$$

Неравенства (1.6.24) справедливы, если $q(x) \leq 0$ при $x \in [0,1]$.

Аналогичными исследованиями можно показать существование и единственность решения разностной задачи (1.6.19).

Чтобы доказать устойчивость разностных схем (1.6.18),(1.6.19), требуется показать выполнение неравенства

$$\|y^{(h)}\|_{U_h} \leq C \cdot \|f^{(h)}\|_{F_h}. \quad (1.6.25)$$

Здесь C – константа, не зависящая ни от h , ни от $f^{(h)}$. С доказательством устойчивости можно познакомиться в [10, с. 207-209].

Таким образом, разностная схема (1.6.18) аппроксимирует краевую задачу (1.40) с первым порядком относительно h и устойчива, если [7, с. 205]

$$h < h_0 \min \left\{ 1, \frac{2}{\|p\|_c} \right\}.$$

Тогда согласно основной теореме 1 теории разностных схем получаем, что решение разностной задачи (1.6.18) будет сходиться к решению дифференциальной задачи (1.6.16) с первым порядком относительно h , то есть

$$\| [y]_h - y^{(h)} \|_{U_h} \leq Kh,$$

где K – постоянная, не зависящая от h .

Итак, решая систему линейных алгебраических уравнений (1.6.23) экономичным методом прогонки, получаем приближенные значения y_0, y_1, \dots, y_N решения краевой задачи (1.6.16) в узлах сетки $\overline{\omega_h}$.

Замечание. Метод сеток применяется для решения краевой задачи (1.6.16) при $q(x) > 0$, когда условия (1.6.24) не выполняются. Однако в этом случае заранее предвидеть успешный результат трудно. Обычно проводят расчеты для разных значений шага (не менее трех) и сравнивают y_i в одних и тех же узлах сетки между собой. Если разность этих значений уменьшается при измельчении шага, то решение стремится к некоторому пределу при $h \rightarrow 0$.

1.5 Построение РС

Решим дифференциальную задачу (1.1)-(1.6) методом конечных разностей.

Заменим область непрерывного изменения аргумента $x \in [-30, 30]$ дискретной областью $D = [-30; 30] \times [-15; 15] \times [0; T]$, в которой $x \in [-30; 30]$, $y \in [-15; 15]$, $t \in [0; T]$. Построим в D сеточное разбиение точками множества

$$w_h = \{x_i = ih, i = \overline{0, N}\},$$

$$w_H = \{y_j = jH, j = \overline{0, M}\},$$

$$w_\tau = \{t_k = k\tau, k = \overline{0, L}\}.$$

Тогда декартово произведение множеств узлов $x = ih; y = jH; t = k\tau$; даст новое множество

$$w_{h\tau} = \{x_i = ih, t_j = j\tau, i = \overline{0, N}, j = \overline{0, M}\}.$$

Аппроксимируем дифференциальную задачу (1.1)-(1.6) разностной, а именно аппроксимируем производные из (1.1)-(1.6) в узлах x_i, y_j, t_k по следующим правым разностным производным 1-го порядка

$$\begin{aligned}
\frac{\partial \sigma(x_i, y_j, t_k)}{\partial t} &= \frac{\sigma(x_i, y_j, t_{k+1}) - \sigma(x_i, y_j, t_k)}{\tau} + O(\tau) \approx \frac{\sigma(x_i, y_j, t_{k+1}) - \sigma(x_i, y_j, t_k)}{\tau}; \\
\frac{\partial u_1(x_i, y_j, t_k)}{\partial x} &= \frac{u_1(x_{i+1}, y_j, t_k) - u_1(x_i, y_j, t_k)}{h} + O(h) \approx \frac{u_1(x_{i+1}, y_j, t_k) - u_1(x_i, y_j, t_k)}{h}; \\
\frac{\partial u_2(x_i, y_j, t_k)}{\partial y} &= \frac{u_2(x_i, y_{j+1}, t_k) - u_2(x_i, y_j, t_k)}{H} + O(H) \approx \frac{u_2(x_i, y_{j+1}, t_k) - u_2(x_i, y_j, t_k)}{H}; \\
\frac{\partial P(x_i, y_j, t_k)}{\partial x} &= \frac{P(x_{i+1}, y_j, t_k) - P(x_i, y_j, t_k)}{h} + O(h) \approx \frac{P(x_{i+1}, y_j, t_k) - P(x_i, y_j, t_k)}{h}; \\
\frac{\partial w_1(x_i, y_j, t_k)}{\partial x} &= \frac{w_1(x_{i+1}, y_j, t_k) - w_1(x_i, y_j, t_k)}{h} + O(h) \approx \frac{w_1(x_{i+1}, y_j, t_k) - w_1(x_i, y_j, t_k)}{h}; \\
\frac{\partial P(x_i, y_j, t_k)}{\partial y} &= \frac{P(x_i, y_{j+1}, t_k) - P(x_i, y_j, t_k)}{H} + O(H) \approx \frac{P(x_i, y_{j+1}, t_k) - P(x_i, y_j, t_k)}{H}; \\
\frac{\partial w_2(x_i, y_j, t_k)}{\partial y} &= \frac{w_2(x_i, y_{j+1}, t_k) - w_2(x_i, y_j, t_k)}{H} + O(H) \approx \frac{w_2(x_i, y_{j+1}, t_k) - w_2(x_i, y_j, t_k)}{H};
\end{aligned}$$

Представим (1.1)-(1.2) в виде сеточного разбиения

$$\begin{cases} \varphi \frac{\sigma(x_i, y_j, t_{k+1}) - \sigma(x_i, y_j, t_k)}{\tau} + \frac{u_1(x_{i+1}, y_j, t_k) - u_1(x_i, y_j, t_k)}{h} + \frac{u_2(x_i, y_{j+1}, t_k) - u_2(x_i, y_j, t_k)}{H} = 0; \\ -\varphi \frac{\sigma(x_i, y_j, t_{k+1}) - \sigma(x_i, y_j, t_k)}{\tau} + \frac{w_1(x_{i+1}, y_j, t_k) - w_1(x_i, y_j, t_k)}{h} + \frac{w_2(x_i, y_{j+1}, t_k) - w_2(x_i, y_j, t_k)}{H} = 0; \end{cases} \Leftrightarrow$$

тогда разностные схемы для $\sigma(x_i, y_j, t_{k+1})$

$$\begin{aligned}
\sigma(x_i, y_j, t_{k+1}) &= \frac{\tau^* \sigma(x_i, y_j, t_k)}{\varphi} - \frac{\tau^* (u_1(x_{i+1}, y_j, t_k) - u_1(x_i, y_j, t_k))}{\varphi h} - \frac{\tau^* (u_2(x_i, y_{j+1}, t_k) - u_2(x_i, y_j, t_k))}{\varphi H}; \quad (1.7) \\
\sigma(x_i, y_j, t_{k+1}) &= \frac{\tau^* \sigma(x_i, y_j, t_k)}{-\varphi} - \frac{\tau^* (w_1(x_{i+1}, y_j, t_k) - w_1(x_i, y_j, t_k))}{-\varphi h} + \frac{\tau^* (w_2(x_i, y_{j+1}, t_k) - w_2(x_i, y_j, t_k))}{-\varphi H}. \quad (1.8)
\end{aligned}$$

Для нахождения $\sigma(x_i, y_j, t_{k+1})$ используем только (1.8), дополнительно

найдем соотношение для разностей \bar{u}_1, \bar{u}_2

$$u_1(x_{i+1}, y_j, t_k) - u_1(x_i, y_j, t_k) = h^* \sigma(x_i, y_j, t_k) - \frac{\varphi h^* \sigma(x_i, y_j, t_{k+1})}{\tau} - \frac{h^* (u_2(x_i, y_{j+1}, t_k) - u_2(x_i, y_j, t_k))}{H};$$

$$u_2(x_i, y_{j+1}, t_k) - u_2(x_i, y_j, t_k) = H^* \sigma(x_i, y_j, t_k) - \frac{\varphi H^* \sigma(x_i, y_j, t_{k+1})}{\tau} - \frac{H^* (u_1(x_{i+1}, y_j, t_k) - u_1(x_i, y_j, t_k))}{h};$$

Представим (1.3)-(1.4) в виде сеточного разбиения

$$\left\{ \begin{aligned} \frac{P(x_{i+1}, y_j, t_k) - P(x_i, y_j, t_k)}{h} &= \frac{-\mu_2^* w_1(x_i, y_j, t_k)}{kk_2(s_2, T, C)} - \frac{\gamma^* w_1(x_i, y_j, t_k)}{\sqrt{w_1^2(x_i, y_j, t_k) + w_2^2(x_i, y_j, t_k)}}; \\ \frac{P(x_i, y_{j+1}, t_k) - P(x_i, y_j, t_k)}{H} &= \frac{-\mu_2^* w_2(x_i, y_j, t_k)}{kk_2(s_2, T, C)} - \frac{\gamma^* w_2(x_i, y_j, t_k)}{\sqrt{w_1^2(x_i, y_j, t_k) + w_2^2(x_i, y_j, t_k)}}; \end{aligned} \right\} \Leftrightarrow$$

$$\left\{ \begin{aligned} w_1 \equiv w_2 \equiv 0, \left(\frac{\partial P}{\partial x} \right)^2 + \left(\frac{\partial P}{\partial y} \right)^2 &< \gamma; \\ \Leftrightarrow \left\{ \begin{aligned} P(x_{i+1}, y_j, t_k) &= \frac{-\mu_2 h^* w_1(x_i, y_j, t_k)}{kk_2(s_2, T, C)} - \frac{\gamma h^* w_1(x_i, y_j, t_k)}{\sqrt{w_1^2(x_i, y_j, t_k) + w_2^2(x_i, y_j, t_k)}} + h^* P(x_i, y_j, t_k); \\ P(x_i, y_{j+1}, t_k) &= \frac{-\mu_2 H^* w_2(x_i, y_j, t_k)}{kk_2(s_2, T, C)} - \frac{\gamma H^* w_2(x_i, y_j, t_k)}{\sqrt{w_1^2(x_i, y_j, t_k) + w_2^2(x_i, y_j, t_k)}} + H^* P(x_i, y_j, t_k); \\ w_1 \equiv w_2 \equiv 0, \left(\frac{P(x_{i+1}, y_j, t_k) - P(x_i, y_j, t_k)}{h} \right)^2 + \left(\frac{P(x_i, y_{j+1}, t_k) - P(x_i, y_j, t_k)}{H} \right)^2 &< \gamma. \end{aligned} \right. \end{aligned} \right.$$

Заметим, что при

$$\left(\frac{\partial P}{\partial x} \right)^2 + \left(\frac{\partial P}{\partial y} \right)^2 > \gamma;$$

верно

$$\sqrt{w_1^2 + w_2^2} = w_1 \sqrt{1 + \left(\frac{P_x}{P_y} \right)^2}; \Leftrightarrow$$

$$\sqrt{w_1^2(x_i, y_j, t_k) + w_2^2(x_i, y_j, t_k)} = w_1(x_i, y_j, t_k) \sqrt{1 + \left(\frac{P(x_{i+1}, y_j, t_k) - P(x_i, y_j, t_k)}{h} : \frac{P(x_i, y_{j+1}, t_k) - P(x_i, y_j, t_k)}{H} \right)^2}.$$

Отдельно рассмотрим множитель после $w_1(x_i, y_j, t_k)$ в правой части предыдущей формулы

$$\sqrt{1 + \left(\frac{P(x_{i+1}, y_j, t_k) - P(x_i, y_j, t_k)}{h} : \frac{P(x_i, y_{j+1}, t_k) - P(x_i, y_j, t_k)}{H} \right)^2} = \sqrt{1 + \left(\frac{H(P(x_{i+1}, y_j, t_k) - P(x_i, y_j, t_k))}{h(P(x_i, y_{j+1}, t_k) - P(x_i, y_j, t_k))} \right)^2};$$

отдельно рассмотрим слагаемое под корнем в правой части предыдущей формулы

$$\begin{aligned} \left(\frac{H(P(x_{i+1}, y_j, t_k) - P(x_i, y_j, t_k))}{h(P(x_i, y_{j+1}, t_k) - P(x_i, y_j, t_k))} \right)^2 &= \frac{H^2(P(x_{i+1}, y_j, t_k) - P(x_i, y_j, t_k))^2}{h^2(P(x_i, y_{j+1}, t_k) - P(x_i, y_j, t_k))^2}; \Leftrightarrow \\ \Leftrightarrow \frac{H^2(P(x_{i+1}, y_j, t_k) - P(x_i, y_j, t_k))^2}{h^2(P(x_i, y_{j+1}, t_k) - P(x_i, y_j, t_k))^2} &= \frac{H^2(P^2(x_{i+1}, y_j, t_k) - 2P(x_{i+1}, y_j, t_k)P(x_i, y_j, t_k) + P^2(x_i, y_j, t_k))}{h^2(P^2(x_i, y_{j+1}, t_k) - 2P(x_i, y_{j+1}, t_k)P(x_i, y_j, t_k) + P^2(x_i, y_j, t_k))}; \end{aligned}$$

таким образом

$$\sqrt{w_1^2(x_i, y_j, t_k) + w_2^2(x_i, y_j, t_k)} = w_1(x_i, y_j, t_k) \sqrt{1 + \frac{H^2(P^2(x_{i+1}, y_j, t_k) - 2P(x_{i+1}, y_j, t_k)P(x_i, y_j, t_k) + P^2(x_i, y_j, t_k))}{h^2(P^2(x_i, y_{j+1}, t_k) - 2P(x_i, y_{j+1}, t_k)P(x_i, y_j, t_k) + P^2(x_i, y_j, t_k))}}.$$

Перепишем сеточное разбиение (1.3)-(1.4) с учётом предыдущей формулы

$$\left\{ \begin{aligned}
P(x_{i+1}, y_j, t_k) &= \frac{-\mu_2 h^* w_1(x_i, y_j, t_k)}{kk_2(s_2, T, C)} + h^* P(x_i, y_j, t_k) - \\
&\quad \frac{\gamma h^* w_1(x_i, y_j, t_k)}{kk_2(s_2, T, C)}; \\
w_1(x_i, y_j, t_k) &\sqrt{1 + \frac{H^2 (P^2(x_{i+1}, y_j, t_k) - 2P(x_{i+1}, y_j, t_k)P(x_i, y_j, t_k) + P^2(x_i, y_j, t_k))}{h^2 (P^2(x_i, y_{j+1}, t_k) - 2P(x_i, y_{j+1}, t_k)P(x_i, y_j, t_k) + P^2(x_i, y_j, t_k))}}; \\
P(x_i, y_{j+1}, t_k) &= \frac{-\mu_2 H^* w_2(x_i, y_j, t_k)}{kk_2(s_2, T, C)} + H^* P(x_i, y_j, t_k) - \\
&\quad \frac{\gamma H^* w_2(x_i, y_j, t_k)}{kk_2(s_2, T, C)}; \\
w_1(x_i, y_j, t_k) &\sqrt{1 + \frac{H^2 (P^2(x_{i+1}, y_j, t_k) - 2P(x_{i+1}, y_j, t_k)P(x_i, y_j, t_k) + P^2(x_i, y_j, t_k))}{h^2 (P^2(x_i, y_{j+1}, t_k) - 2P(x_i, y_{j+1}, t_k)P(x_i, y_j, t_k) + P^2(x_i, y_j, t_k))}}; \\
w_1 \equiv w_2 \equiv 0, &\left(\frac{P(x_{i+1}, y_j, t_k) - P(x_i, y_j, t_k)}{h} \right)^2 + \left(\frac{P(x_i, y_{j+1}, t_k) - P(x_i, y_j, t_k)}{H} \right)^2 < \gamma;
\end{aligned} \right.$$

тогда разностные схемы для $w_1(x_i, y_j, t_{k+1}); w_2(x_i, y_j, t_{k+1})$

$$\left\{ \begin{aligned}
w_1(x_i, y_j, t_{k+1}) &= \frac{kk_2(s_2, T, C)}{\mu_2 h} (h^* P(x_i, y_j, t_k) - P(x_{i+1}, y_j, t_k)) - \\
&\quad \frac{kk_2(s_2, T, C) \gamma h}{\mu_2 h} \left(\sqrt{1 + \frac{H^2 (P^2(x_{i+1}, y_j, t_k) - 2P(x_{i+1}, y_j, t_k)P(x_i, y_j, t_k) + P^2(x_i, y_j, t_k))}{h^2 (P^2(x_i, y_{j+1}, t_k) - 2P(x_i, y_{j+1}, t_k)P(x_i, y_j, t_k) + P^2(x_i, y_j, t_k))}} \right)^{-1};
\end{aligned} \right. \quad (1.9)$$

$$\left\{ \begin{aligned}
w_2(x_i, y_j, t_{k+1}) &= \frac{\frac{w_1(x_i, y_j, t_{k+1})}{\gamma H} \sqrt{1 + \frac{H^2 (P^2(x_{i+1}, y_j, t_k) - 2P(x_{i+1}, y_j, t_k)P(x_i, y_j, t_k) + P^2(x_i, y_j, t_k))}{h^2 (P^2(x_i, y_{j+1}, t_k) - 2P(x_i, y_{j+1}, t_k)P(x_i, y_j, t_k) + P^2(x_i, y_j, t_k))}} (H^* P(x_i, y_j, t_k) - P(x_i, y_{j+1}, t_k))}{\left(\frac{\mu_2 H w_1(x_i, y_j, t_{k+1}) \sqrt{1 + \frac{H^2 (P^2(x_{i+1}, y_j, t_k) - 2P(x_{i+1}, y_j, t_k)P(x_i, y_j, t_k) + P^2(x_i, y_j, t_k))}{h^2 (P^2(x_i, y_{j+1}, t_k) - 2P(x_i, y_{j+1}, t_k)P(x_i, y_j, t_k) + P^2(x_i, y_j, t_k))}}}{kk_2(s_2, T, C) \gamma H} + 1 \right)}; \\
w_1 \equiv w_2 \equiv 0, &\left(\frac{P(x_{i+1}, y_j, t_k) - P(x_i, y_j, t_k)}{h} \right)^2 + \left(\frac{P(x_i, y_{j+1}, t_k) - P(x_i, y_j, t_k)}{H} \right)^2 < \gamma.
\end{aligned} \right. \quad (1.10)$$

Представим (1.5)-(1.6) в виде сеточного разбиения

$$\begin{cases} \frac{P(x_{i+1}, y_j, t_k) - P(x_i, y_j, t_k)}{h} = \frac{-\mu_1 * u_1(x_i, y_j, t_k)}{kk_1(s_1, T, C)}; \\ \frac{P(x_i, y_{j+1}, t_k) - P(x_i, y_j, t_k)}{H} = \frac{-\mu_1 * u_2(x_i, y_j, t_k)}{kk_1(s_1, T, C)}; \end{cases} \Leftrightarrow$$

$$\Leftrightarrow \begin{cases} P(x_{i+1}, y_j, t_k) = \frac{-\mu_1 h * u_1(x_i, y_j, t_k)}{kk_1(s_1, T, C)} + P(x_i, y_j, t_k); \\ P(x_i, y_{j+1}, t_k) = \frac{-\mu_1 H * u_2(x_i, y_j, t_k)}{kk_1(s_1, T, C)} + P(x_i, y_j, t_k); \end{cases} \Leftrightarrow$$

разностные схемы для $u_1(x_i, y_j, t_{k+1}); u_2(x_i, y_j, t_{k+1})$

$$\Leftrightarrow \begin{cases} u_1(x_i, y_j, t_{k+1}) = \frac{kk_1(s_1, T, C) * (P(x_i, y_j, t_k) - P(x_{i+1}, y_j, t_k))}{\mu_1 h}; \\ u_2(x_i, y_j, t_{k+1}) = \frac{kk_1(s_1, T, C) * (P(x_i, y_j, t_k) - P(x_i, y_{j+1}, t_k))}{\mu_1 H}; \end{cases} \quad (1.11)$$

$$(1.12)$$

Для нахождения $P(x_{i+1}, y_j, t_{k+1})$, $P(x_i, y_{j+1}, t_{k+1})$, $P(x_i, y_j, t_{k+1})$ используем ранее полученные формулы

$$u_1(x_{i+1}, y_j, t_{k+1}) - u_1(x_i, y_j, t_{k+1}) = h * \sigma(x_i, y_j, t_{k+1}) - \frac{\phi h * \sigma(x_i, y_j, t_{k+2})}{\tau} - \frac{h * (u_2(x_i, y_{j+1}, t_{k+1}) - u_2(x_i, y_j, t_{k+1}))}{H};$$

$$\begin{cases} P(x_{i+1}, y_j, t_{k+1}) - P(x_i, y_j, t_{k+1}) = \frac{-\mu_1 h * u_1(x_i, y_j, t_{k+1})}{kk_1(s_1, T, C)}; \\ P(x_i, y_{j+1}, t_{k+1}) - P(x_i, y_j, t_{k+1}) = \frac{-\mu_1 H * u_2(x_i, y_j, t_{k+1})}{kk_1(s_1, T, C)}; \end{cases}$$

дополним (1.11)-(1.12), принимая $k = k + 1$ для значения разности $u_1(x_{i+1}, y_j, t_{k+1}) - u_1(x_i, y_j, t_{k+1})$ полученной из (1.7)

$$\left\{ \begin{aligned} P(x_{i+1}, y_j, t_{k+1}) - P(x_i, y_j, t_{k+1}) &= \frac{-\mu_1 h^* u_1(x_i, y_j, t_{k+1})}{kk_1(s_1, T, C)}, \\ P(x_i, y_{j+1}, t_{k+1}) - P(x_i, y_j, t_{k+1}) &= \frac{-\mu_1 H^* u_2(x_i, y_j, t_{k+1})}{kk_1(s_1, T, C)}, \\ u_1(x_{i+1}, y_j, t_{k+1}) - u_1(x_i, y_j, t_{k+1}) &= h^* \sigma(x_i, y_j, t_{k+1}) - \frac{\varphi h^* \sigma(x_i, y_j, t_{k+2})}{\tau} - \frac{h^* (u_2(x_i, y_{j+1}, t_{k+1}) - u_2(x_i, y_j, t_{k+1}))}{H}, \end{aligned} \right.$$

представим дополненную (1.11)-(1.12) в виде

$$\left\{ \begin{aligned} \frac{kk_1(s_1, T, C)}{-\mu_1 h} (P(x_{i+1}, y_j, t_{k+1}) - P(x_i, y_j, t_{k+1})) &= u_1(x_i, y_j, t_{k+1}); \\ \frac{kk_1(s_1, T, C)}{-\mu_1 H} (P(x_i, y_{j+1}, t_{k+1}) - P(x_i, y_j, t_{k+1})) &= u_2(x_i, y_j, t_{k+1}); \\ u_1(x_{i+1}, y_j, t_{k+1}) - \frac{kk_1(s_1, T, C)}{-\mu_1 h} (P(x_{i+1}, y_j, t_{k+1}) - P(x_i, y_j, t_{k+1})) &= h^* \sigma(x_i, y_j, t_{k+1}) - \\ - \frac{\varphi h^* \sigma(x_i, y_j, t_{k+2})}{\tau} - \frac{h^* (u_2(x_i, y_{j+1}, t_{k+1}) - \frac{kk_1(s_1, T, C)}{-\mu_1 H} (P(x_i, y_{j+1}, t_{k+1}) - P(x_i, y_j, t_{k+1})))}{H}; \end{aligned} \right.$$

пусть

$$\begin{aligned} \frac{kk_1(s_1, T, C)}{-\mu_1 h} &= \lambda_1; \\ \frac{kk_1(s_1, T, C)}{-\mu_1 H} &= \lambda_2; \\ h^* \sigma(x_i, y_j, t_{k+1}) - \frac{\varphi h^* \sigma(x_i, y_j, t_{k+2})}{\tau} &= \lambda_3; u_2(x_i, y_{j+1}, t_{k+1}) \\ \frac{h}{H} &= \lambda_4; \end{aligned}$$

тогда

$$\begin{cases} \lambda_1(P(x_{i+1}, y_j, t_{k+1}) - P(x_i, y_j, t_{k+1})) = u_1(x_i, y_j, t_{k+1}); \\ \lambda_2(P(x_i, y_{j+1}, t_{k+1}) - P(x_i, y_j, t_{k+1})) = u_2(x_i, y_j, t_{k+1}); \\ -\lambda_1(P(x_{i+1}, y_j, t_{k+1}) - P(x_i, y_j, t_{k+1})) + \frac{\lambda_2}{H}(P(x_i, y_{j+1}, t_{k+1}) - P(x_i, y_j, t_{k+1})) = \lambda_3 - u_1(x_{i+1}, y_j, t_{k+1}) - \\ -\lambda_4 u_2(x_i, y_{j+1}, t_{k+1}); \end{cases}$$

далее, примем

$$P(x_i, y_j, t_{k+1}) = x; P(x_{i+1}, y_j, t_{k+1}) = y; P(x_i, y_{j+1}, t_{k+1}) = z;$$

$$\lambda_5 = \frac{u_1(x_i, y_j, t_{k+1})}{\lambda_1};$$

$$\lambda_6 = \frac{u_2(x_i, y_j, t_{k+1})}{\lambda_2};$$

$$\lambda_7 = \frac{\lambda_3 - u_1(x_{i+1}, y_j, t_{k+1}) - \lambda_4 u_2(x_i, y_{j+1}, t_{k+1})}{\lambda_1};$$

тогда

$$\begin{cases} y - x = \lambda_5; \\ z - x = \lambda_6; \\ -y + x + \frac{H^2}{h}(z - x) = \lambda_7; \end{cases}$$

что равно

$$\begin{pmatrix} (-1) & 1 & 0 \\ (-1) & 0 & 1 \\ \left(1 - \frac{H^2}{h}\right) & (-1) & \left(\frac{H^2}{h}\right) \end{pmatrix} \begin{Bmatrix} x \\ y \\ z \end{Bmatrix} = \begin{Bmatrix} \lambda_5 \\ \lambda_6 \\ \lambda_7 \end{Bmatrix}.$$

$\lambda_5, \lambda_6, \lambda_7, h, H$ – известны на данном этапе, \Rightarrow СЛАУ может быть решена, например, методом Крамера, \Rightarrow

$$\Delta = \det \left(\begin{pmatrix} (-1) & 1 & 0 \\ (-1) & 0 & 1 \\ \left(1 - \frac{H^2}{h}\right) & (-1) & \left(\frac{H^2}{h}\right) \end{pmatrix} \right);$$

$$\delta_1 = \det \left(\begin{pmatrix} \lambda_5 & 1 & 0 \\ \lambda_6 & 0 & 1 \\ \lambda_7 & (-1) & \left(\frac{H^2}{h}\right) \end{pmatrix} \right);$$

$$\delta_2 = \det \left(\begin{pmatrix} (-1) & \lambda_5 & 0 \\ (-1) & \lambda_6 & 1 \\ \left(1 - \frac{H^2}{h}\right) & \lambda_7 & \left(\frac{H^2}{h}\right) \end{pmatrix} \right);$$

$$\delta_3 = \det \left(\begin{pmatrix} (-1) & 1 & \lambda_5 \\ (-1) & 0 & \lambda_6 \\ \left(1 - \frac{H^2}{h}\right) & (-1) & \lambda_7 \end{pmatrix} \right);$$

так как

$$x = \frac{\delta_1}{\Delta}; y = \frac{\delta_2}{\Delta}; z = \frac{\delta_3}{\Delta};$$

или

$$P(x_i, y_j, t_{k+1}) = \frac{\det \left(\begin{pmatrix} \frac{u_1(x_i, y_j, t_{k+1})}{kk_1(s_1, T, C)} \\ -\mu_1 h \end{pmatrix} \begin{pmatrix} \frac{u_2(x_i, y_j, t_{k+1})}{kk_1(s_1, T, C)} \\ -\mu_1 H \end{pmatrix} \begin{pmatrix} 1 & 0 \\ 0 & 1 \\ (-1) \left(\frac{H^2}{h} \right) \end{pmatrix} \begin{pmatrix} h^* \sigma(x_i, y_j, t_{k+1}) - \frac{\varphi h^* \sigma(x_i, y_j, t_{k+2})}{\tau} - u_1(x_{i+1}, y_j, t_{k+1}) - \frac{h}{H} u_2(x_i, y_{j+1}, t_{k+1}) \\ \frac{kk_1(s_1, T, C)}{-\mu_1 h} \end{pmatrix} \right)}{\det \left(\begin{pmatrix} (-1) & 1 & 0 \\ (-1) & 0 & 1 \\ \left(1 - \frac{H^2}{h} \right) (-1) \left(\frac{H^2}{h} \right) \end{pmatrix} \right)};$$

$$P(x_{i+1}, y_j, t_{k+1}) = \frac{\det \left(\begin{pmatrix} \frac{u_1(x_i, y_j, t_{k+1})}{kk_1(s_1, T, C)} \\ -\mu_1 h \end{pmatrix} \begin{pmatrix} \frac{u_2(x_i, y_j, t_{k+1})}{kk_1(s_1, T, C)} \\ -\mu_1 H \end{pmatrix} \begin{pmatrix} (-1) & 0 \\ (-1) & 1 \\ \left(1 - \frac{H^2}{h} \right) \left(\frac{H^2}{h} \right) \end{pmatrix} \begin{pmatrix} h^* \sigma(x_i, y_j, t_{k+1}) - \frac{\varphi h^* \sigma(x_i, y_j, t_{k+2})}{\tau} - u_1(x_{i+1}, y_j, t_{k+1}) - \frac{h}{H} u_2(x_i, y_{j+1}, t_{k+1}) \\ \frac{kk_1(s_1, T, C)}{-\mu_1 h} \end{pmatrix} \right)}{\det \left(\begin{pmatrix} (-1) & 1 & 0 \\ (-1) & 0 & 1 \\ \left(1 - \frac{H^2}{h} \right) (-1) \left(\frac{H^2}{h} \right) \end{pmatrix} \right)};$$

$$P(x_i, y_{j+1}, t_{k+1}) = \frac{\det \left(\begin{pmatrix} (-1) & 0 \\ (-1) & 1 \end{pmatrix} \begin{pmatrix} 1 - \frac{H^2}{h} \end{pmatrix} \begin{pmatrix} \frac{H^2}{h} \end{pmatrix} \begin{pmatrix} \frac{u_1(x_i, y_j, t_{k+1})}{kk_1(s_1, T, C)} \\ -\mu_1 h \end{pmatrix} \begin{pmatrix} \frac{u_2(x_i, y_j, t_{k+1})}{kk_1(s_1, T, C)} \\ -\mu_1 H \end{pmatrix} \begin{pmatrix} h^* \sigma(x_i, y_j, t_{k+1}) - \frac{\phi h^* \sigma(x_i, y_j, t_{k+2})}{\tau} - u_1(x_{i+1}, y_j, t_{k+1}) - \frac{h}{H} u_2(x_i, y_{j+1}, t_{k+1}) \\ \frac{kk_1(s_1, T, C)}{-\mu_1 h} \end{pmatrix} \right)}{\det \left(\begin{pmatrix} (-1) & 1 & 0 \\ (-1) & 0 & 1 \end{pmatrix} \begin{pmatrix} 1 - \frac{H^2}{h} \end{pmatrix} (-1) \begin{pmatrix} \frac{H^2}{h} \end{pmatrix} \right)};$$

1.6 Граничные и начальные условия краевой задачи, аппроксимация граничных и начальных условий

Так как граничные и начальные условия являются константами, то их аппроксимация точная.

Граничные условия для разностных схем (для всех t_k):

Пусть $i=i_{\text{наг}}, j=j_{\text{наг}}$ – узел (узлы) сетки, попадающие на нагнетающую скважину;

И пусть $i=j_{\text{доб}}, j=j_{\text{доб}}$ – узел (узлы) сетки, попадающие на добывающую скважину.

Тогда

$$P_{i_{\text{наг}}, j_{\text{наг}}} = \tilde{D}; P_{i_{\text{доб}}, j_{\text{доб}}} = 0.$$

$$0 \leq i \leq I; 0 \leq j \leq J;$$

$$\begin{array}{lll} u_1(x_{i=0}, y_j, t_k) = 0; & u_1(x_{i=I}, y_j, t_k) = 0; & u_2(x_i, y_{j=0}, t_k) = 0; \\ u_2(x_{i=0}, y_j, t_k) = 0; & u_2(x_{i=I}, y_j, t_k) = 0; & u_2(x_i, y_{j=J}, t_k) = 0; \\ w_1(x_{i=0}, y_j, t_k) = 0; & w_1(x_{i=I}, y_j, t_k) = 0; & w_2(x_i, y_{j=0}, t_k) = 0; \\ w_2(x_{i=0}, y_j, t_k) = 0; & w_2(x_{i=I}, y_j, t_k) = 0; & w_2(x_i, y_{j=J}, t_k) = 0; \end{array}$$

Начальное условие для разностных схем на шаге $t=t_{k=0}=0$:

$$\sigma(x_i, y_j, 0) = 0;$$

$$u_1(x_i, y_j, 0) = 0;$$

$$u_2(x_i, y_j, 0) = 0;$$

$$w_1(x_i, y_j, 0) = 0;$$

$$w_2(x_i, y_j, 0) = 0;$$

$$P(x_i, y_j, 0) = P_{\text{пласта}};$$

$$P_{\text{пласта}} = P_{\text{пласта}} - P_{\text{добыв.скваж.}} \text{ (для каждого } i, j \text{ вычисляется);}$$

1.7 Некоторые свойства ЯРС и алгоритм решения разностной задачи (1.7)-(1.12)

1.7.1 Некоторые свойства ЯРС

Иллюстрация к краевой задаче из главы 1.1 представлена в виде

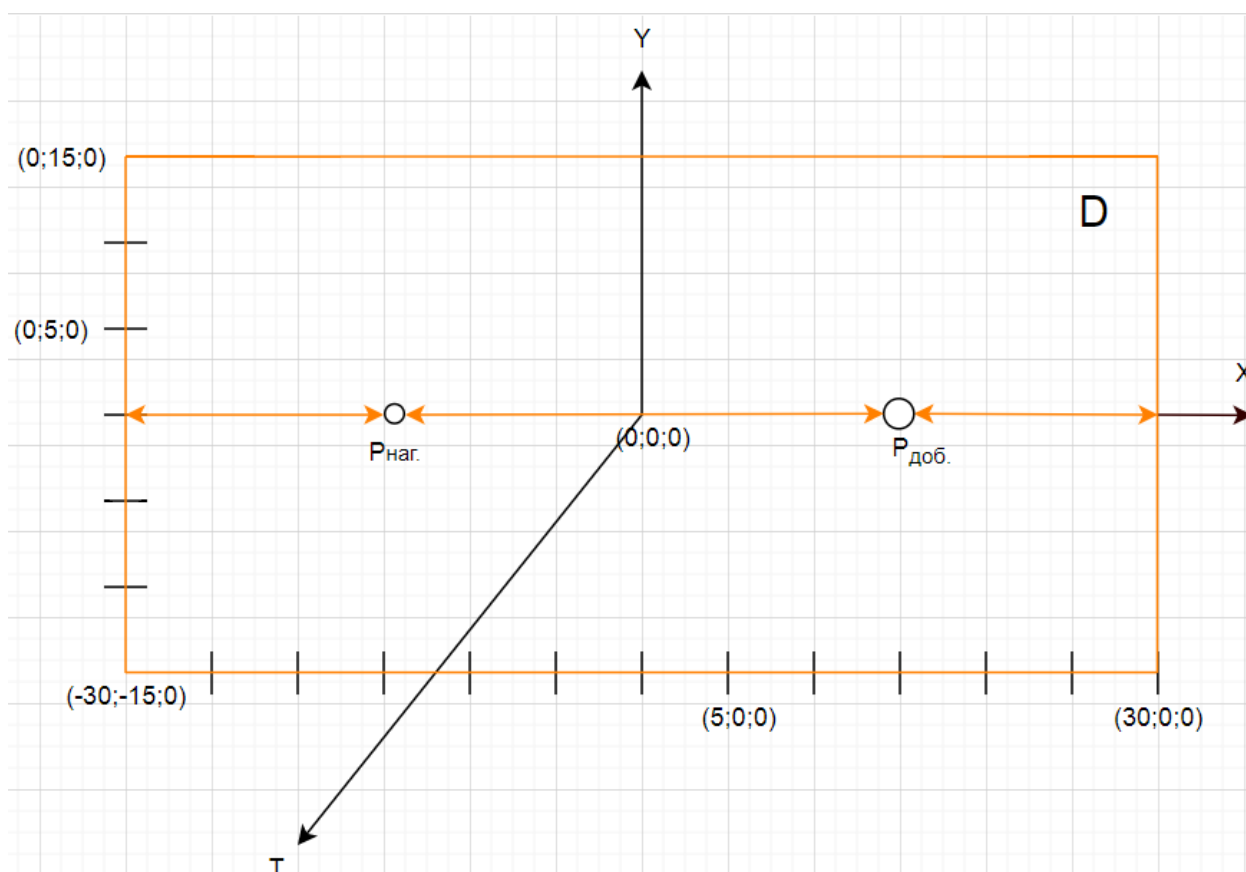


Рисунок 1.3– Сечение нефтяного пласта

Для решения разностной задачи область D на рисунке 1.3 представляется сеточным разбиением предложенным главе 1.5, причём мелкость разбиения такая, что хотя бы 1 узел попадает на $P_{\text{наг.}}$, $P_{\text{доб.}}$.

Схематичное разбиение области сеткой может быть таким

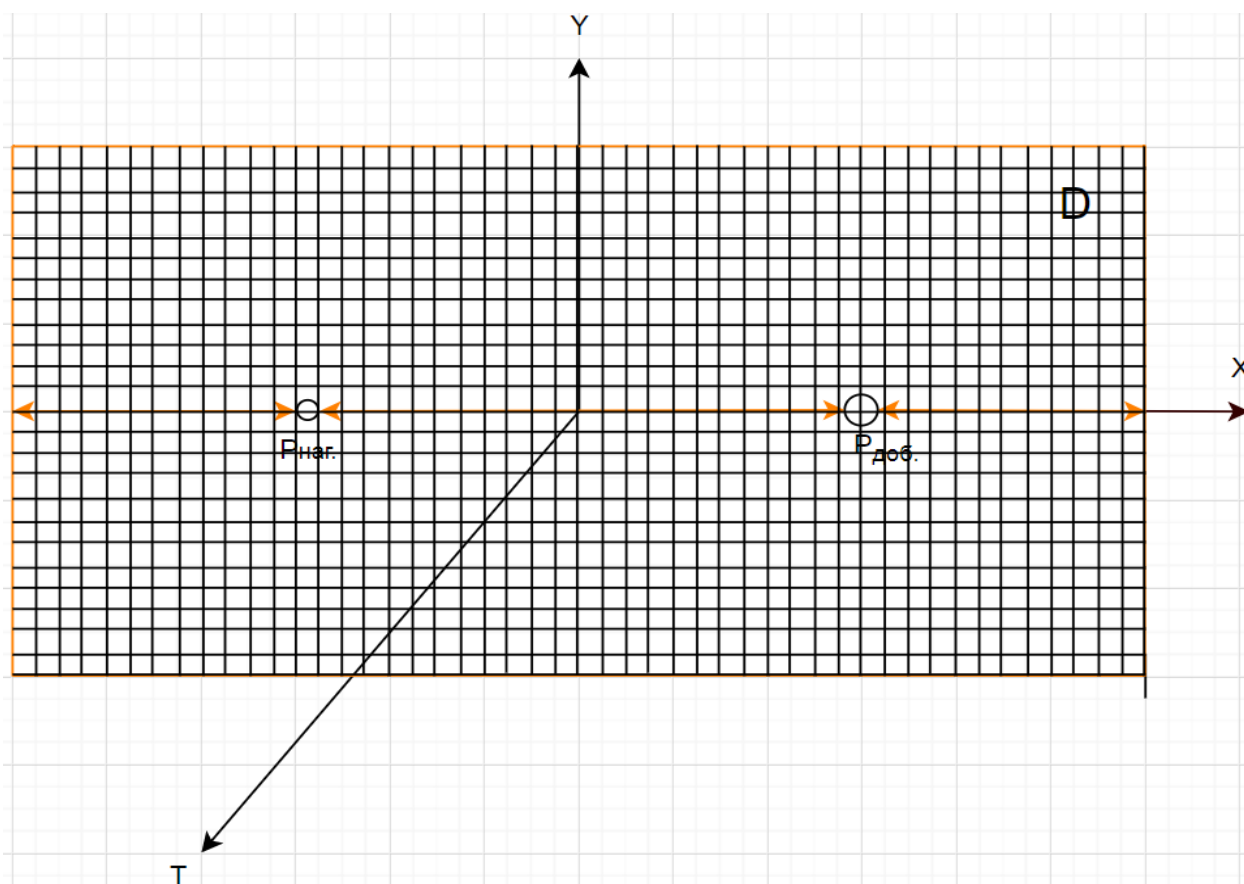


Рисунок 1.4– Сеточное разбиение сечения нефтяного пласта

Шаблонном ЯРС является

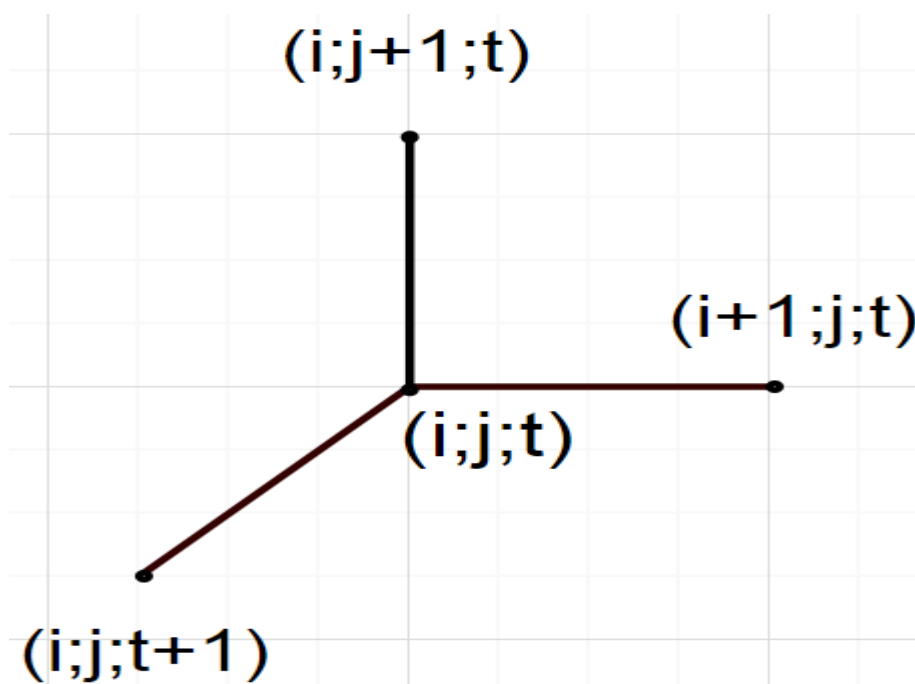


Рисунок 1.5– Шаблон ЯРС для 2-d задачи

Устойчивость ЯРС для 2-d задачи.

При

$$h_x = h_y.$$

Учитывая

Зависимость условия устойчивости явной разностной схемы, аппроксимирующей дифференциальное уравнение параболического типа, от размерности задачи

Размерность пространства	1	2	3	N
Условие устойчивости	$\frac{\Delta t}{h^2} \leq \frac{1}{2\sigma}$	$\frac{\Delta t}{h^2} \leq \frac{1}{4\sigma}$	$\frac{\Delta t}{h^2} \leq \frac{1}{6\sigma}$	$\frac{\Delta t}{h^2} \leq \frac{1}{2N\sigma}$

Вероятно, условием устойчивости ЯРС является

$$\Delta t \leq \frac{h^2}{4}?$$

1.7.2 Общая схема решения и описание вспомогательных алгоритмов

Пусть I,J,K – последние узловые точки в ЯРС, (i – дискретная область по оси x, j – дискретная область по оси y, k – дискретная область по оси t) тогда

1) Известно $\sigma(x_0, y_0, t_0)$, $w_1(x_0, y_0, t_0)$, $w_2(x_0, y_0, t_0) \Rightarrow$ вычисляется $\sigma(x_0, y_0, t_1)$, которое является решением **задачи 1** (для уравнения Дарси);

2) Известно $w_1(x_0, y_0, t_0)$, $w_2(x_0, y_0, t_0)$, $w_1(x_1, y_0, t_0)$, $w_2(x_0, y_1, t_0)$, вычисляется

$P(x_0, y_0, t_0) = P_{\text{пласта}} - P_{\text{добыв.скваж.}}$, $P(x_1, y_0, t_0)$, $P(x_0, y_1, t_0) \Rightarrow$ вычисляются

$w_1(x_0, y_0, t_1), w_2(x_0, y_0, t_1)$, которое является решением **задачи 2** (для уравнения Бингама-Шведова);

3) Уже известно $P(x_0, y_0, t_0), P(x_1, y_0, t_0), P(x_0, y_1, t_0) \Rightarrow$ вычисляются $u_1(x_0, y_0, t_1), u_2(x_0, y_0, t_1)$ решение **задачи 3** (для уравнения Бингама-Шведова);

4) Известно $u_1(x_0, y_0, t_1), u_2(x_0, y_0, t_1), u_1(x_1, y_0, t_1), u_2(x_0, y_1, t_1), \sigma(x_0, y_0, t_1), \Rightarrow$ вычисляется $\sigma(x_1, y_1, t_2)$ (**Задача 1**) \Rightarrow вычисляются $P(x_1, y_0, t_1), P(x_0, y_1, t_1), P(x_0, y_0, t_1)$ решение **задачи 4** (для уравнения Бингама-Шведова);

5) Далее циклично повторяются 1)-4). Пусть $i=0, j=0, k=0$, сначала заполняются для $i=i+1, j=j+1, k=k+1$ известные величины, затем вычисляется решение **задач 1-4** для $i=i+1, j=j+1, k=k+2$, и при необходимости $i=i+2, j=j+2, k=k+2$. Процесс вычисления повторяется для $\forall I \geq i \geq 0, J \geq j \geq 0, K \geq k \geq 0$ и вычисляются:

$\sigma(x_i, y_j, t_k)$ – относительная водонасыщенность для фаз: воды, нефти.

$w_1(x_i, y_j, t_k), w_2(x_i, y_j, t_k)$ – векторные поля скоростей для фазы нефти;

$u_1(x_i, y_j, t_k), u_2(x_i, y_j, t_k)$ – векторные поля скоростей для фазы воды;

$P(x_i, y_j, t_k)$ – парциальное давление.

Задача 1.

ЯРС для закона Дарси (теплопроводностью пласта пренебрегаем)

$$\sigma(x_i, y_j, t_{k+1}) = \frac{\tau^* \sigma(x_i, y_j, t_k)}{-\varphi} - \frac{\tau^* (w_1(x_{i+1}, y_j, t_k) - w_1(x_i, y_j, t_k))}{-\varphi h} + \frac{\tau^* (w_2(x_i, y_{j+1}, t_k) - w_2(x_i, y_j, t_k))}{-\varphi H}.$$

Задача 2.

ЯРС для закона сохранения импульса (пренебрегая силой тяжести), для вязко-пластичной нефти с предельным градиентом давления по реологической модели вязкопластической среды Бингама-Шведова, для фазы нефти

$$\begin{cases}
w_1(x_i, y_j, t_{k+1}) = \frac{kk_2(s_2, T, C)}{\mu_2 h} \left(h * P(x_i, y_j, t_k) - P(x_{i+1}, y_j, t_k) \right) - \\
- \frac{kk_2(s_2, T, C) \gamma h}{\mu_2 h} \left(\sqrt{1 + \frac{H^2 \left(P^2(x_{i+1}, y_j, t_k) - 2P(x_{i+1}, y_j, t_k)P(x_i, y_j, t_k) + P^2(x_i, y_j, t_k) \right)}{h^2 \left(P^2(x_i, y_{j+1}, t_k) - 2P(x_i, y_{j+1}, t_k)P(x_i, y_j, t_k) + P^2(x_i, y_j, t_k) \right)}} \right)^{-1}; \\
w_2(x_i, y_j, t_{k+1}) = \frac{\frac{w_1(x_i, y_j, t_{k+1})}{\gamma H} \sqrt{1 + \frac{H^2 \left(P^2(x_{i+1}, y_j, t_k) - 2P(x_{i+1}, y_j, t_k)P(x_i, y_j, t_k) + P^2(x_i, y_j, t_k) \right)}{h^2 \left(P^2(x_i, y_{j+1}, t_k) - 2P(x_i, y_{j+1}, t_k)P(x_i, y_j, t_k) + P^2(x_i, y_j, t_k) \right)}}}{\left(\frac{\mu_2 H w_1(x_i, y_j, t_{k+1}) \sqrt{1 + \frac{H^2 \left(P^2(x_{i+1}, y_j, t_k) - 2P(x_{i+1}, y_j, t_k)P(x_i, y_j, t_k) + P^2(x_i, y_j, t_k) \right)}{h^2 \left(P^2(x_i, y_{j+1}, t_k) - 2P(x_i, y_{j+1}, t_k)P(x_i, y_j, t_k) + P^2(x_i, y_j, t_k) \right)}}}{kk_2(s_2, T, C) \gamma H} + 1 \right)} \left(H * P(x_i, y_j, t_k) - P(x_{i+1}, y_{j+1}, t_k) \right); \\
w_1 \equiv w_2 \equiv 0, \left(\frac{P(x_{i+1}, y_j, t_k) - P(x_i, y_j, t_k)}{h} \right)^2 + \left(\frac{P(x_i, y_{j+1}, t_k) - P(x_i, y_j, t_k)}{H} \right)^2 < \gamma.
\end{cases}$$

Задача 3.

Закон сохранения импульса в векторной форме (пренебрежём силой тяжести), для вязко-пластичной нефти с предельным градиентом давления по реологической модели вязкопластической среды Бингама-Шведова, для фазы воды

$$\begin{cases}
u_1(x_i, y_j, t_{k+1}) = \frac{kk_1(s_1, T, C) * (P(x_i, y_j, t_k) - P(x_{i+1}, y_j, t_k))}{\mu_1 h}; \\
u_2(x_i, y_j, t_{k+1}) = \frac{kk_1(s_1, T, C) * (P(x_i, y_j, t_k) - P(x_i, y_{j+1}, t_k))}{\mu_1 H};
\end{cases}$$

Задача 4.

$$\begin{cases}
P(x_{i+1}, y_j, t_{k+1}) - P(x_i, y_j, t_{k+1}) = \frac{-\mu_1 h * u_1(x_i, y_j, t_{k+1})}{kk_1(s_1, T, C)}; \\
P(x_i, y_{j+1}, t_{k+1}) - P(x_i, y_j, t_{k+1}) = \frac{-\mu_1 H * u_2(x_i, y_j, t_{k+1})}{kk_1(s_1, T, C)}; \\
u_1(x_{i+1}, y_j, t_{k+1}) - u_1(x_i, y_j, t_{k+1}) = h * \sigma(x_i, y_j, t_{k+1}) - \frac{\phi h * \sigma(x_i, y_j, t_{k+2})}{\tau} - \frac{h * (u_2(x_i, y_{j+1}, t_{k+1}) - u_2(x_i, y_j, t_{k+1}))}{H};
\end{cases}$$

Приводится к СЛАУ и решается методом Крамера (глава 1.5)

$$P(x_i, y_j, t_{k+1}) = \frac{\delta_1}{\Delta}; P(x_{i+1}, y_j, t_{k+1}) = \frac{\delta_2}{\Delta}; P(x_i, y_{j+1}, t_{k+1}) = \frac{\delta_3}{\Delta};$$

СПИСОК ИСПОЛЬЗОВАННЫХ ИСТОЧНИКОВ

- 1 Меркулова Н.Н., Михайлов М.Д. Разностные схемы для обыкновенных дифференциальных уравнений. Учебное пособие, Томск 2014.
- 2 Березин И.С., Жидков Н.П. Методы вычислений, том 2. – М.:ГИФМЛ, 1960. –620с.
- 3 Самарский А.А., Гулин А.В. Численные методы. – М.:Наука, 1989. – 432с.
- 4 Демидович Б.П., Марон И.А., Шувалова Э.З. Численные методы анализа. . – М.:Наука, 1967. –368с.
- 5 Тихонов А.Н., Васильева А.Б., Свешников А.Г. Дифференциальные уравнения. – М.: Наука, 1985.
- 6 Арушанян О.Б., Залёткин С.Ф. Численное решение обыкновенных дифференциальных уравнений на фортране. – М.: изд-во МГУ, 1990. – 336 с. 10.
- 7 Ракитин В.И., Первушин В.Е. Практическое руководство по методам вычислений с приложением программ для персональных компьютеров. – М.: Высшая школа, 1998. – 383 с.
- 8 Годунов С.К., Рябенький В.С. Разностные схемы. Введение в теорию. – М.: Наука, 1977. – 439 с.